

広島工業大学工学部 正員 能島 暢呂
 広島工業大学工学部 正員 中山 隆弘
 広島工業大学工学部 正員 浅野 照雄

1. 本研究の目的 地域防災計画における地震想定は、種々の地震対策の前提条件を設定する作業であり、重要な検討項目である。広島地域は50~100年に1回程度の頻度で地震被害にみまわれており、広島市では、1905年芸予地震(M=7 $\frac{1}{2}$)に代表される安芸・伊予灘のM=7程度地震を最も警戒すべき地震とする一方、南海沖の巨大地震による被害記録もあり注意を要としている¹⁾。本研究では、歴史地震資料に基づいて広島地域の地震危険度解析を行い、亀田・石川が提案した方法^{2),3)}を用いて、リスク指標に対応した地震の地域的な特性を探るとともに、地震想定のための基礎資料の提供を目的としたものである。

2. 解析方法と条件 地震危険度解析の手法はCornell⁴⁾の方法に準じた。本研究ではまず、リスク指標を年平均発生率 $\nu_0 (= 1/T_r, T_r: \text{再現期間(年)})$ として、地震動強度 y と ν_0 の対応関係を表すハザード曲線を算出する。つぎに、指定した ν_0 から逆に定められる地震動強度 $y_0(\nu_0)$ を超える地震動を注目サイトに生じさせるマグニチュード M 、震央距離 R の確率分布の平均値 M^* 、 R^* (ハザード適合マグニチュード・震央距離²⁾)を求め、 $y_0(\nu_0)$ の背景となる地震群の特徴について考察する。さらに、注目サイトの地震危険度に対する各地震域の貢献度³⁾から、支配的な地震域の抽出を行う。注目サイトは広島市中心部であり、南海沖の地震の影響を考慮して解析対象範囲を半径350km以内とした。歴史地震資料⁵⁾は、解析対象範囲内において679~1987年の間に発生したM=6以上の128個の地震を用いた。地震域のゾーン分割は、扇形の形状で分割数を9とし(図1)、各地震域の特性は表1に示した通りである⁶⁾。アテニュエーション式は、工学的基盤の地震動予測モデル⁷⁾の強度パラメータである最大RMS強度 $\gamma(\text{gal})$ (図2、基盤最大加速度は γ の概ね2倍)、および加速度応答スペクトル⁸⁾ $S_A(\text{gal})$ (第III種地盤、水平成分、 $h=5\%$)を用いた。

3. 解析結果および考察 図3に γ のハザード曲線を示す。図4は、横軸に M 、縦軸に R をとり、年平均発生率 ν_0 を変化させた場合の M 、 R の条件付同時確率密度関数を、平均値(M^* 、 R^*)および標準偏差(σ_M 、 σ_R)で簡易的に表現したものである。年平均発生率 ν_0 の高い(T_r が短い)レベルでは、 M^* 小、 R^* 大、ばらつき大の傾向にあり、特に支配的な地震域が現れていないが、 ν_0 を低く(T_r を長く)とるに従って、影響力

表1 各地震域のパラメータ

地震域	m_{eq}	m_{lv}	r_{ci} (km)	r_{co} (km)	年平均地震発生率
A 山陽	6.0	7.8	60.00	350.0	0.01404
B 大阪近辺	6.0	7.5	212.0	350.0	0.02381
C 南海沖	6.0	8.4	240.0	350.0	0.008689
D 日向灘	6.0	7.8	112.0	332.0	0.04704
E 九州中部	6.0	7.6	112.0	320.0	0.01917
F 奄美	6.0	7.0	220.0	276.0	0.01010
G 四国東部	6.0	7.0	132.0	192.0	0.01639
H 広島湾	6.0	7.3	0.000	84.00	0.02424
I 山口県東部	6.0	6.5	40.00	124.0	0.03019

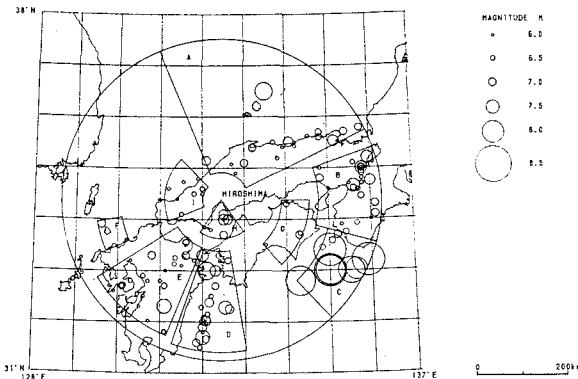


図1 広島市を中心とした解析対象範囲内の地震分布と地震域の分割

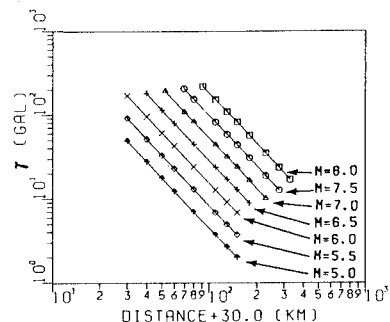


図2 γ のアテニュエーション特性

を持つ地震が安芸・伊予灘(ゾーンH)の地震に限定され、最大 $M=7.3$ 、最小 $R=0\text{km}$ に収束する傾向にある。このことは各地震域の貢献度(図5)に明確に現れている。年平均発生率 ν_0 の高いレベルでは、表1の年平均地震発生率にほぼ比例した貢献度となるが、全体的に安芸・伊予灘(ゾーンH)が支配的で、山口県東部(ゾーンI)、日向灘(ゾーンD)がそれに次いでいる。年平均発生率 $0.01(\gamma=52\text{gal})$ では、ゾーンH, I, Dの貢献度がそれぞれ90.0%, 6.7%, 1.3%であり、南海沖(ゾーンC)の貢献度は0.4%ときわめて小さい。図6は S_A のハザード曲線(固有周期 $T=0.1, 0.7, 3.0$ 秒)であり、各固有周期に対応した (M^*, R^*) は図7のように得られた(σ_M, σ_R は省略)。長周期側($T=3.0$ 秒)における貢献度(図8)をみると、年平均発生率 $0.01(S_A=35\text{gal})$ でゾーンH, C, Dの貢献度がそれぞれ61.3%, 12.2%, 11.4%となり、ゾーンC, Dの貢献度も高く、軟弱地盤上の長周期構造物については遠距離大地震の影響が強い傾向を示していると考えられる。

4. おわりに 扇形モデルでは、サイトから放射方向のゾーン境界の設定方法が解析結果を大きく左右するので、今後の検討課題としたい。本研究の成果をふまえて、既存記録補正や地震動予測モデルによる動的解析用地震動の模擬を行う方針である。

【謝辞】 本研究は、平成5年度文部省科学研究費総合研究(A)(代表：中山隆弘、課題番号05302072)の補助を得て行ったものである。京大防災研究所 亀田弘行教授と清水建設(株) 技術研究所 石川 裕氏には有意義な議論をいただいた。記して謝意を表する。

【参考文献】 1) 広島市：広島市地震被害想定調査報告書，1985.10， 2) 亀田・石川：ハザード適合マグニチュード・震央距離による地震危険度解析の拡張，土木学会論文集第392号I/9，1988.4， 3) 石川・亀田：地震危険度解析に基づく想定地震の設定法，第8回日本地震工学シンポジウム，1990， 4) Cornell, C. A. : Engineering Seismic Risk Analysis, Bull. Seism. Soc. Am., Vol.58, No.5, 1968, 5) 宇津：世界の被害地震の表，1990.5， 6) 河村：歴史地震データに基づく免震構造物の耐震信頼性解析法に関する研究，広島工業大学修士論文，1993.2， 7) Kameda, H. and Nojima, N., "Simulation of Risk-Consistent Earthquake Motion," Earthquake Engineering and Structural Dynamics, Vol.16, Oct. 1988, 8) 道路橋示方書・同解説 V 耐震設計編，1990.2。

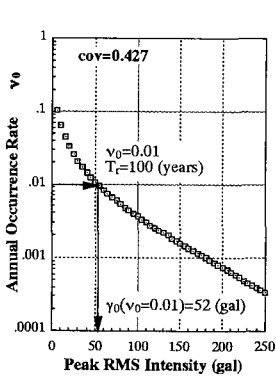


図3 ハザード曲線 (γ)

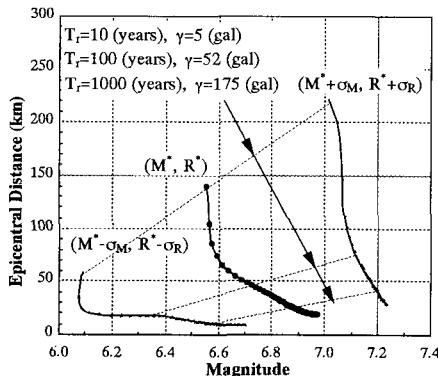


図4 ハザード適合マグニチュード・震央距離 (γ)

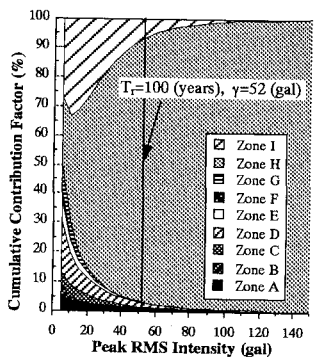


図5 各地震域の貢献度 (γ)

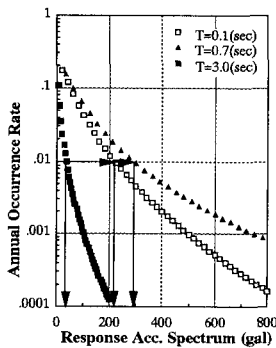


図6 ハザード曲線 (S_A)

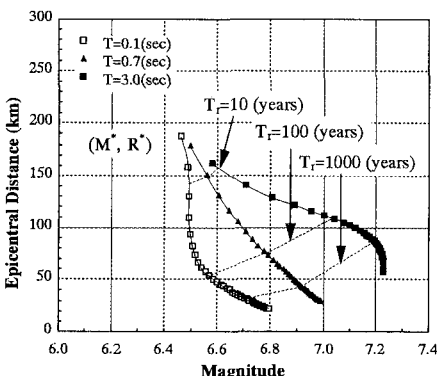


図7 ハザード適合マグニチュード・震央距離 (S_A)

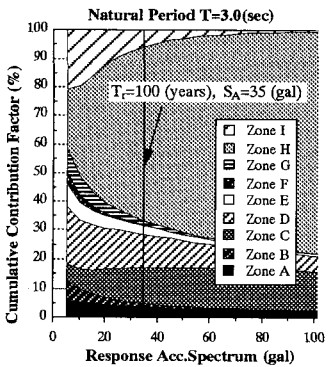


図8 各地震域の貢献度 (S_A)